

## 青牛胆含氮类成分研究

孙雅婷<sup>1,2</sup>, 王傲莉<sup>1,2</sup>, 李达翃<sup>1,2</sup>, 李占林<sup>1,2</sup>, 刘晓秋<sup>2</sup>, 华会明<sup>1,2\*</sup>

1. 沈阳药科大学中药学院, 教育部基于靶点的药物设计与研究重点实验室, 辽宁 沈阳 110016

2. 沈阳药科大学中药学院, 辽宁 沈阳 110016

**摘要:** 目的 研究青牛胆 *Tinospora sagittata* 的块根中含氮类化学成分及其体外抗肿瘤活性。方法 采用硅胶、ODS、Sephadex LH-20 柱色谱等手段分离纯化, 根据理化性质和波谱数据鉴定化合物结构。分别采用台盼蓝排斥法和 MTT 法测试单体化合物对 HL-60 和 MCF-7 细胞的抗增殖作用。结果 从青牛胆块根的乙醇提取物中分离得到 9 个化合物, 分别鉴定为四氢巴马汀(1)、四氢药根碱(2)、药根碱(3)、巴马汀(4)、neoechinulin A(5)、echinuline(6)、N-反式阿魏酸酰酰胺(7)、尿嘧啶(8)、三乙胺氢碘酸盐(9)。结论 化合物 5、6、8、9 为首次从青牛胆属植物中分离得到。化合物 1、3~5、7 对 HL-60 细胞显示弱的抗增殖作用。

**关键词:** 青牛胆; 生物碱; 药根碱; 巴马汀; neoechinulin A; echinuline; N-反式阿魏酸酰酰胺

**中图分类号:** R284.1      **文献标志码:** A      **文章编号:** 0253-2670(2015)09-1287-05

**DOI:** 10.7501/j.issn.0253-2670.2015.09.006

## Nitrogeous chemical constituents from *Tinosporae Radix*

SUN Ya-ting<sup>1,2</sup>, WANG Ao-li<sup>1,2</sup>, LI Da-hong<sup>1,2</sup>, LI Zhan-lin<sup>1,2</sup>, LIU Xiao-qiu<sup>2</sup>, HUA Hui-ming<sup>1,2</sup>

1. Key Laboratory of Structure-Based Drug Design & Discovery, Ministry of Education, School of Traditional Chinese Materia Medica, Shenyang Pharmaceutical University, Shenyang 110016, China

2. School of Traditional Chinese Materia Meidca, Shenyang Pharmaceutical University, Shenyang 110016, China

**Abstract: Objective** To investigate the chemical constituents from *Tinosporae Radix* (the roots of *Tinospora sagittata*) and their antiproliferative effects in cancer cells. **Methods** The compounds were isolated and purified by means of silica gel, ODS, and Sephadex LH-20 column chromatography. The structures were identified on the basis of physicochemical properties and spectroscopic analysis. The antiproliferative effects in HL-60 and MCF-7 cells were tested by Trypan blue and MTT methods, respectively. **Results** Nine compounds were isolated and their structures were identified as tetrahydropalmatine (1), tetrahydrojatrorrhizine (2), jatrorrhizine (3), palmatine (4), neoechinulin A (5), echinuline (6), N-trans-feruloyltyramine (7), uracil (8), and triethylamine hydroiodide (9). **Conclusion** Among them, compounds 5, 6, 8 and 9 are isolated from the plants of *Tinospora* Miers for the first time. Compounds 1, 3—5 and 7 show the moderate antiproliferative effects in HL-60 cells.

**Key words:** *Tinosporae Radix*; alkaloid; jatrorrhizine; palmatine; neoechinulin A; echinuline; N-trans-feruloyltyramine

青牛胆 *Tinosporae Radix* 为防己科(Menispermaceae)青牛胆属 *Tinospora* Miers 植物青牛胆 *Tinospora sagittata* (Oliv.) Gagnep. 的干燥块根, 为中药材金果榄 *Tinosporae Radix* 的原植物之一。其味苦, 性寒, 具有清热解毒、利咽止痛的功效, 为《中国药典》历版所收载。世界上现有青牛胆属植物 34 种, 我国有 6 个种 2 个变种, 多为落叶性攀援灌木, 主要分布在秦岭至南岭山脉, 主产于四

川、湖南、广西、湖北、贵州等地。青牛胆属植物主要含有生物碱类<sup>[1-2]</sup>、二萜类<sup>[3-5]</sup>、木脂素类、苯丙素类<sup>[6-7]</sup>、甾酮类<sup>[6]</sup>、倍半萜及三萜类等成分。其中, 生物碱以季铵碱类为主, 多为原小檗碱型和阿朴菲型异喹啉类生物碱。药理研究表明青牛胆属植物具有抗炎、镇痛、抗应激、抗溃疡、抗肿瘤、抑菌、降血糖、免疫调节等作用<sup>[8]</sup>。为了更好地揭示其化学成分, 寻找活性成分, 本实验利用多种色谱分离技术,

收稿日期: 2015-01-23

基金项目: 国家自然科学基金资助项目 (81172958)

作者简介: 孙雅婷 (1990—), 女, 博士研究生。Tel: (024)23986488 E-mail: sunyatingna@163.com

\*通信作者 华会明, 教授, 博士生导师。Tel: (024)23986465 E-mail: huimhua@163.com

从青牛胆乙醇提取物中分离得到 9 个化合物, 分别鉴定为四氢巴马汀 (tetrahydropalmatine, **1**)、四氢药根碱 (tetrahydrojatrorrhizine, **2**)、药根碱 (jatrorrhizine, **3**)、巴马汀 (palmatine, **4**)、neoechinulin A (**5**)、echinuline (**6**)、*N*-反式阿魏酸 (feruloyltyramine, **7**)、尿嘧啶 (uracil, **8**)、三乙胺氢碘酸盐 (triethylamine hydroiodide, **9**), 结构见图 1。其中化合物 **5**、**6**、**8**、**9** 为首次从该属植物中分离得到。测试了单体化合物对 HL-60 和 MCF-7 细胞生长抑制作用, 结果显示化合物 **1**、**3~5**、**7** 对

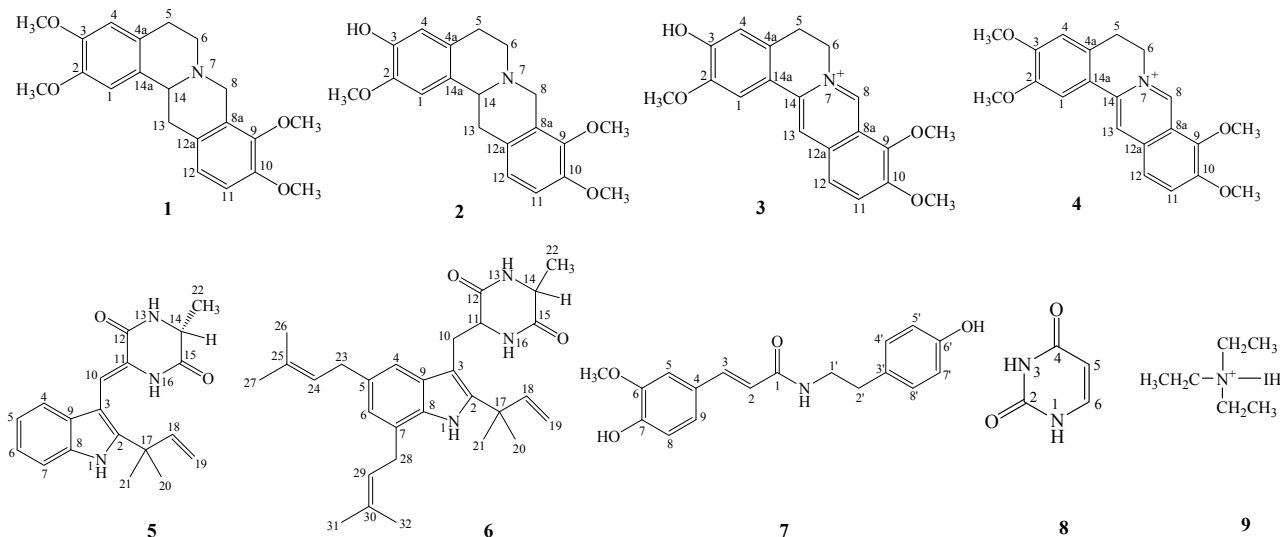


图 1 化合物 1~9 的结构

Fig. 1 Structures of compounds 1—9

HL-60 细胞显示弱的抗增殖作用。

## 1 仪器与材料

Bruker-ARX-300 型核磁共振光谱仪 (德国 Bruker 公司)。薄层硅胶 GF<sub>254</sub>、薄层硅胶 H、200~300 目柱色谱用硅胶 (青岛海洋化工厂)。ODS 柱色谱填料 (100 μm, 日本 YMC 公司), Sephadex LH-20 凝胶 (瑞典 GE Healthcare 公司)。常规用试剂均为分析纯。

青牛胆购自河北安国药材市场, 产自四川, 由沈阳药科大学药用植物教研室路金才教授鉴定为青牛胆 *Tinospora sagittata* (Oliv.) Gagnep. 块根, 标本 (TS2010) 保存于沈阳药科大学天然药化教研室。

## 2 提取与分离

青牛胆药材 17.5 kg, 用 95% 和 75% 乙醇分别加热回流提取 2 次和 1 次, 每次 2 h, 浓缩后的药液挥散至无醇味后, 用 5 L 蒸馏水混悬, 依次用等量二氯甲烷和正丁醇萃取 3 次, 回收溶剂后分别得二氯甲烷萃取物 73.5 g, 正丁醇萃取物 109 g。

二氯甲烷萃取物 73.5 g, 进行硅胶柱色谱, 以二氯甲烷-甲醇梯度洗脱得 132 个流分。Fr. 44~55 (二氯甲烷-甲醇 100:1→100:2) 用 ODS 柱色谱分离, 55% 甲醇水溶液洗脱得到化合物 **5** (3.0 mg),

65% 甲醇水溶液洗脱得到化合物 **1** (12.2 mg), 85% 甲醇水溶液洗脱得到化合物 **6** (1.5 mg); Fr. 76~100 (二氯甲烷-甲醇 100:3) 用 ODS 柱色谱分离, 45%~55% 甲醇水溶液洗脱所得亚流分 sub Fr. 33~63 经重结晶得到化合物 **2** (7.8 mg), 母液用 Sephadex LH-20 柱色谱 (甲醇洗脱) 分离, 其中的亚流分 sub Fr. 20~24 再用 Sephadex LH-20 柱色谱 (15% 甲醇水溶液) 分离纯化, 在亚流分 Fr. 16~23 经过 ODS 柱色谱分离后, 再用 Sephadex LH-20 柱色谱 (35% 甲醇水溶液) 分离纯化, 得到化合物 **7** (35.6 mg)。

正丁醇萃取物 109 g, 进行硅胶柱色谱, 以二氯甲烷-甲醇梯度洗脱得 250 个流分。Fr. 44~58 (二氯甲烷-甲醇 100:2) 经重结晶得到化合物 **4** (150 mg), Fr. 51~58 用 Sephadex LH-20 柱色谱 (甲醇) 分离, 其中 sub Fr. 9~13 经过 ODS 柱色谱 (25% 甲醇-水) 分离纯化得到化合物 **8** (3.5 mg); Fr. 86~145 (二氯甲烷-甲醇 100:3) 用甲醇重结晶得到化合物 **3** (200 mg); Fr. 166~196 (二氯甲烷-甲醇 100:5) 用硅胶柱色谱分离, 二氯甲烷-甲醇 (100:7) 洗脱得到的 Fr. 59~65 再经过 Sephadex LH-20 柱色谱 (甲醇) 分离纯化得到化合物 **9** (10 mg)。

### 3 结构鉴定

**化合物1:** 无色针状结晶(甲醇), 碘化铋钾反应呈阳性。紫外下254 nm下呈暗斑。<sup>1</sup>H-NMR(300 MHz, CDCl<sub>3</sub>) δ: 6.88 (1H, d, *J* = 8.4 Hz, H-12), 6.78 (1H, d, *J* = 8.4 Hz, H-11), 6.73 (1H, s, H-1), 6.62 (1H, s, H-4), 4.24 (1H, d, *J* = 15.5 Hz, H-8), 3.89 (3H, s, 9-OCH<sub>3</sub>), 3.87 (3H, s, 10-OCH<sub>3</sub>), 3.85 (6H, s, 2, 3-OCH<sub>3</sub>), 3.56 (1H, m, H-14), 3.50 (1H, d, *J* = 15.5 Hz, H-8), 3.27 (1H, dd, *J* = 16.0, 3.6 Hz, H-13), 3.19 (1H, m, H-6), 3.10 (1H, m, H-5), 2.83 (1H, dd, *J* = 16.0, 11.5 Hz, H-13), 2.64 (1H, m, H-5), 2.61 (1H, m, H-6); <sup>13</sup>C-NMR(75 MHz, CDCl<sub>3</sub>) δ: 150.6 (C-9), 145.4 (C-10), 144.8 (C-2/3), 144.7 (C-2/3), 130.0 (C-14a), 129.0 (C-12a), 128.0 (C-8a), 127.1 (C-4a), 124.2 (C-12), 111.6 (C-4), 111.2 (C-11), 108.9 (C-1), 60.5 (9-OCH<sub>3</sub>), 59.6 (C-14), 56.4 (3-OCH<sub>3</sub>), 56.3 (2-OCH<sub>3</sub>), 56.1 (10-OCH<sub>3</sub>), 54.3 (C-8), 51.8 (C-6), 36.6 (C-13), 29.4 (C-5)。以上数据与文献报道一致<sup>[9]</sup>, 故鉴定化合物1为四氢巴马汀。

**化合物2:** 无色针状结晶(甲醇), 碘化铋钾反应呈阳性。紫外254 nm下呈暗斑。<sup>1</sup>H-NMR(300 MHz, CDCl<sub>3</sub>) δ: 6.88 (1H, d, *J* = 8.4 Hz, H-12), 6.78 (1H, d, *J* = 8.4 Hz, H-11), 6.71 (1H, s, H-1), 6.68 (1H, s, H-4), 4.24 (1H, d, *J* = 15.5 Hz, H-8), 3.89 (3H, s, 9-OCH<sub>3</sub>), 3.85 (6H, s, 2, 10-OCH<sub>3</sub>), 3.54 (1H, m, H-14), 3.53 (1H, d, *J* = 15.5 Hz, H-8), 3.26 (1H, dd, *J* = 15.9, 3.4 Hz, H-13), 3.16 (1H, m, H-6), 3.10 (1H, m, H-5), 2.84 (1H, dd, *J* = 15.9, 11.5 Hz, H-13), 2.64 (1H, m, H-5), 2.61 (1H, m, H-6)。以上数据与文献报道一致<sup>[10]</sup>, 故鉴定化合物2为四氢药根碱。

**化合物3:** 橘黄色针晶(甲醇), 紫外254 nm下呈暗黄色暗斑, 365 nm下呈黄色荧光, 碘化铋钾反应呈阳性。<sup>1</sup>H-NMR(300 MHz, DMSO-d<sub>6</sub>) δ: 10.03 (1H, s, 3-OH), 9.85 (1H, s, H-8), 8.96 (1H, s, H-13), 8.20 (1H, d, *J* = 9.0 Hz, H-11), 8.00 (1H, d, *J* = 9.0 Hz, H-12), 7.69 (1H, s, H-1), 6.85 (1H, s, H-4), 4.91 (2H, t, *J* = 6.1 Hz, H-6), 4.10 (3H, s, 9-OCH<sub>3</sub>), 4.07 (3H, s, 10-OCH<sub>3</sub>), 3.94 (3H, s, 2-OCH<sub>3</sub>), 3.15 (2H, t, *J* = 6.1 Hz, H-5); <sup>13</sup>C-NMR(75 MHz, DMSO-d<sub>6</sub>) δ: 150.2 (C-2, 3), 148.0 (C-9), 145.3 (C-8), 143.7 (C-10), 138.3 (C-4a), 133.3 (C-8a), 128.9 (C-12), 126.9 (C-11), 123.4 (C-12a), 121.0 (C-14), 119.5 (C-13), 117.8 (C-14a), 115.0 (C-4), 109.6 (C-1), 62.0

(9-OCH<sub>3</sub>), 57.1 (10-OCH<sub>3</sub>), 56.3 (2-OCH<sub>3</sub>), 55.5 (C-6), 25.9 (C-5)。以上数据与文献报道一致<sup>[11]</sup>, 故鉴定化合物3为药根碱。

**化合物4:** 黄色针状结晶(甲醇), 紫外254 nm下呈亮黄色暗斑, 365 nm下呈黄色荧光, 碘化铋钾反应呈阳性。<sup>1</sup>H-NMR(300 MHz, CDCl<sub>3</sub>) δ: 9.88 (1H, s, H-8), 8.50 (1H, s, H-13), 7.89 (1H, d, *J* = 9.1 Hz, H-11), 7.64 (1H, d, *J* = 9.1 Hz, H-12), 7.42 (1H, s, H-1), 6.70 (1H, s, H-4), 5.00 (2H, t, *J* = 6.0 Hz, H-6), 4.19 (3H, s, 9-OCH<sub>3</sub>), 4.06 (3H, s, 10-OCH<sub>3</sub>), 3.99 (3H, s, 3-OCH<sub>3</sub>), 3.96 (3H, s, 2-OCH<sub>3</sub>), 3.21 (2H, t, *J* = 6.0 Hz, H-5); <sup>13</sup>C-NMR(75 MHz, CDCl<sub>3</sub>) δ: 152.3 (C-3), 150.5 (C-9), 149.6 (C-2), 146.2 (C-8), 144.9 (C-10), 138.0 (C-14), 133.7 (C-8a), 128.2 (C-4a), 126.2 (C-12), 123.7 (C-11), 122.2 (C-12a), 120.1 (C-13), 119.0 (C-14a), 108.4 (C-4), 110.8 (C-1), 62.6 (9-OCH<sub>3</sub>), 57.1 (10-OCH<sub>3</sub>), 57.0 (3-OCH<sub>3</sub>), 56.5 (2-OCH<sub>3</sub>), 56.5 (C-6), 27.4 (C-5)。以上数据与文献报道一致<sup>[12]</sup>, 故鉴定化合物4为巴马汀。

**化合物5:** 无色针状结晶(甲醇), 254 nm下呈暗斑, 365 nm下无荧光, 10%浓硫酸-乙醇溶液显黄色。<sup>1</sup>H-NMR(300 MHz, CDCl<sub>3</sub>) δ: 8.31 (1H, s, H-1), 7.44 (1H, brs, H-13), 7.36 (1H, m, H-7), 7.28 (1H, m, H-4), 7.21 (1H, s, H-10), 7.18 (1H, m, H-5), 7.16 (1H, m, H-6), 6.25 (1H, brs, H-16), 6.07 (1H, dd, *J* = 17.5, 10.6 Hz, H-18), 5.23 (1H, d, *J* = 10.0 Hz, H-19a), 5.19 (1H, d, *J* = 17.0 Hz, H-19b), 4.30 (1H, qd, *J* = 7.0, 1.8 Hz, H-14), 1.61 (3H, d, *J* = 6.9 Hz, 22-CH<sub>3</sub>), 1.53 (6H, s, 20, 21-CH<sub>3</sub>); <sup>13</sup>C-NMR(75 MHz, CDCl<sub>3</sub>) δ: 165.8 (C-15), 159.9 (C-12), 144.5 (C-18), 143.9 (C-2), 134.4 (C-8), 126.2 (C-9), 124.7 (C-11), 122.5 (C-6), 121.3 (C-5), 119.0 (C-4), 111.4 (C-7), 113.5 (C-19), 112.0 (C-10), 103.1 (C-3), 51.8 (C-14), 39.3 (C-17), 27.5 (C-20, 21), 21.0 (C-22)。以上数据与文献报道一致<sup>[13-14]</sup>, 故鉴定化合物5为neoechinulin A。

**化合物6:** 无色晶体(甲醇), 易溶于石油醚、氯仿, 溶于甲醇。紫外254 nm下呈暗斑, 365 nm下无荧光。10%浓硫酸-乙醇溶液显褐色。<sup>1</sup>H-NMR(300 MHz, CDCl<sub>3</sub>) δ: 8.05 (1H, s, NH-1), 7.13 (1H, s, H-4), 6.80 (1H, s, H-6), 6.10 (1H, dd, *J* = 17.2, 10.2 Hz, H-18), 5.35 (1H, t, *J* = 7.1 Hz, H-29), 5.16 (1H, d, *J* = 17.2 Hz, H-19a), 5.15 (1H, d, *J* = 10.2 Hz, H-19b),

4.41 (1H, m, H-11), 4.09 (1H, q,  $J = 7.0$  Hz, H-14), 3.66 (2H, dd,  $J = 14.6, 3.6$  Hz, H-10), 3.39 (2H, d,  $J = 7.1$  Hz, H-28), 1.87 (3H, s, 27-CH<sub>3</sub>), 1.81 (3H, s, 26-CH<sub>3</sub>), 1.74 (6H, s, 31, 32-CH<sub>3</sub>), 1.53 (3H, d,  $J = 7.0$  Hz, 22-CH<sub>3</sub>), 1.51 (6H, s, 20, 21-CH<sub>3</sub>); <sup>13</sup>C-NMR (75 MHz, CDCl<sub>3</sub>)  $\delta$ : 168.8 (C-12), 168.1 (C-15), 146.1 (C-18), 141.7 (C-2), 134.4 (C-8), 133.3 (C-5), 132.6 (C-25), 131.9 (C-30), 129.3 (C-9), 124.8 (C-29), 123.7 (C-7), 123.2 (C-6, 24), 115.4 (C-4), 112.7 (C-19), 104.4 (C-3), 54.9 (C-11), 51.1 (C-14), 39.3 (C-17), 34.9 (C-28), 31.7 (C-23), 29.8 (C-10), 28.3 (C-21), 28.2 (C-20), 26.1 (C-27, 31), 20.2 (C-22), 18.3 (C-32), 18.2 (C-26)。以上数据与文献报道一致<sup>[15]</sup>, 故鉴定化合物 6 为 echinuline。

**化合物 7:** 浅黄色油状物(甲醇)。紫外 254 nm 下呈暗斑, 365 nm 下呈浅蓝色荧光, 10%浓硫酸-乙醇溶液显黄色。<sup>1</sup>H-NMR (300 MHz, DMSO-d<sub>6</sub>)  $\delta$ : 9.28 (1H, brs, -OH), 7.98 (1H, t,  $J = 5.5$  Hz, -NH), 7.31 (1H, d,  $J = 15.7$  Hz, H-3), 7.11 (1H, d,  $J = 1.8$  Hz, H-5), 7.00 (2H, d,  $J = 8.4$  Hz, H-4', 8'), 6.98 (1H, dd,  $J = 8.1, 1.8$  Hz, H-9), 6.78 (1H, d,  $J = 8.1$  Hz, H-8), 6.68 (2H, d,  $J = 8.4$  Hz, H-5', 7'), 6.43 (1H, d,  $J = 15.7$  Hz, H-2), 3.80 (3H, s, 6-OCH<sub>3</sub>), 3.34 (2H, m, H-1'), 2.65 (2H, t,  $J = 7.5$  Hz, H-2'); <sup>13</sup>C-NMR (75 MHz, DMSO-d<sub>6</sub>)  $\delta$ : 165.4 (C-1), 155.7 (C-6'), 148.3 (C-7), 147.8 (C-6), 138.9 (C-3), 129.5 (C-9, 4', 8'), 126.4 (C-3'), 121.5 (C-2), 119.0 (C-8), 115.7 (C-4), 115.1 (C-5', 7'), 110.7 (C-5), 55.5 (6-OCH<sub>3</sub>), 40.7 (C-1'), 34.4 (C-2')。以上数据与文献报道一致<sup>[16-17]</sup>, 故鉴定化合物 7 为 N-反式阿魏酸酰酰胺。

**化合物 8:** 白色固体粉末(甲醇)。<sup>1</sup>H-NMR (300 MHz, DMSO-d<sub>6</sub>)  $\delta$ : 11.01 (1H, s, 1-NH), 10.82 (1H, s, 3-NH), 7.38 (1H, d,  $J = 7.6$  Hz, H-6), 5.44 (1H, d,  $J = 7.6$  Hz, H-5)。以上数据与文献报道一致<sup>[18]</sup>, 故鉴定化合物 8 为尿嘧啶。

**化合物 9:** 白色针晶(甲醇), 碘化铋钾显色反应呈阳性, 碘熏显棕黄色。<sup>1</sup>H-NMR (300 MHz, CDCl<sub>3</sub>)  $\delta$ : 3.08 (6H, q,  $J = 7.0$  Hz, 3×-CH<sub>2</sub>), 1.39 (9H, t,  $J = 7.0$  Hz, 3×-CH<sub>3</sub>); <sup>13</sup>C-NMR (75 MHz, CDCl<sub>3</sub>)  $\delta$ : 46.0 (3×-CH<sub>2</sub>), 8.8 (3×-CH<sub>3</sub>)。以上数据与文献报道一致<sup>[19]</sup>, 故鉴定化合物 9 为三乙胺氢碘酸盐。

#### 4 体外抗肿瘤活性

采用台盼蓝排斥法和 MTT 法测试了单体化合

物对人急性髓细胞性白血病细胞 HL-60 和人乳腺癌细胞 MCF-7 抗增殖作用, 结果见表 1。

**表 1 单体化合物对 HL-60 和 MCF-7 细胞的生长抑制作用**  
**Table 1 Antiproliferative effects of tested compounds on HL-60 and MCF-7 cells**

化合物	IC <sub>50</sub> (μmol·L <sup>-1</sup> )	
	HL-60	MCF-7
1	35.26	79.55
2	>100	>100
3	39.36	>100
4	45.00	68.29
5	31.59	>100
6	>100	>100
7	68.61	>100

由表 1 可见, 化合物 1、3~5、7 对 HL-60 细胞生长有弱的抑制作用, 化合物 1 和 4 对 MCF-7 细胞生长较弱的抑制作用。

#### 参考文献

- Chang H M, EI-Fishawy A M, Slatkin D J, et al. Quaternary alkaloids of *Tinospora capillipes* [J]. *Planta Med*, 1984, 50(1): 88-90.
- Sarma D N K, Padma P, Khosa R L. Constituent of *Tinospora cordifolia* root [J]. *Fitoterapia*, 1998, 69(6): 541-542.
- Vijay D G, Padmanava P, Arjun T, et al. Cordilisides A, B, C: norditerpene furan glycosides from *Tinospora cordifolia* [J]. *Phytochemistry*, 1994, 37(3): 781-786.
- Vijay D G, Padmanava P, Arjun T, et al. Norditerpene furan glycosides from *Tinospora cordifolia* [J]. *Phytochemistry*, 1995, 39(5): 1139-1142.
- Li W, Huang C, Li S, et al. Clerodane diterpenoids from *T. sagittata* (Oliv.) Gagnep [J]. *Planta Med*, 2012, 78(1): 82-85.
- 程春梅, 戴云, 黄相中, 等. 云南青牛胆块根的化学成分研究 [J]. 中草药, 2010, 41(5): 689-690.
- Li W, Koike K, Liu L J, et al. New lignan glucosides from the stem of *Tinospora sinensis* [J]. *Chem Pharm Bull*, 2004, 52(5): 638-640.
- 吴丽媛, 关世侠, 姜月霞, 等. 海南青牛胆化学成分与药理学研究进展 [J]. 现代药物与临床, 2010, 25(3): 177-180.
- John P, Bartley, Luke T, et al. Alkaloids of *Stephania bancroftii* [J]. *Phytochemistry*, 1994, 36(5): 1327-1331.
- Cutter P S, Miller R B, Schore N E. Synthesis of

- protoberberines using a silyl-directed Pictet-Spengler cyclization [J]. *Tetrahedron*, 2002, 58(8): 1471-1478.
- [11] 吕道锡. 暗红小檗 (*Berberis agricola* Ahrendt) 化学成分及生物活性研究 [D]. 重庆: 西南大学, 2007.
- [12] Shi Q R, Shen Y H, Zhang C, et al. Chemical constituents of two original plants used a *Radix Tinosporae* [J]. *Chin J Nat Med*, 2008, 6(3): 186-189.
- [13] Li Y, Li X F, Kim S K, et al. Golmaenone, a new diketopiperazine alkaloid from the marine-derived fungus *Aspergillus sp.* [J]. *Chem Pharm Bull*, 2004, 52(3): 375-376.
- [14] Ryuta Y, Mikiharu D. Golmaenone, Isolation of an antioxidative substance produced by *Aspergillus repens* [J]. *Biosci Biotechnol Biochem*, 1999, 63(5): 932-933.
- [15] 吴琼, 华会明, 李占林. 仙人掌化学成分的分离与鉴定 [J]. 中国药物化学杂志, 2013, 23(2): 120-126.
- [16] Holzbach J C, Lopes L M X. Aristolactams and alkamides of *Aristolochia gigantean* [J]. *Molecules*, 2010, 15(12): 9462-9472.
- [17] Takako Y, Takashi T, Takeatsu K. Examination of the nitric oxide production-suppressing component in *Tinospora tuberculata* [J]. *Biol Pharm Bull*, 2001, 24(10): 1153-1156.
- [18] 蔡杨鹏, 刘璐璐, 闫玉霞, 等. 沙蚕 *Stomopholus meleagris* 核苷类成分研究 [J]. 中国海洋药物杂志, 2011, 30(4): 34-37.
- [19] 商立坚, 文光裕, 周俊, 等. 臭假黄皮中的新的大环内酰胺——黄皮素 [J]. 云南植物研究, 1993, 15(3): 299-302.